

ТВЕРДОФАЗНАЯ АМОРФИЗАЦИЯ МАССИВНЫХ ОБРАЗЦОВ Ge И Si ПОД ДАВЛЕНИЕМ

В.В.Бражкин, А.Г.Ляпин, С.В.Попова, Р.Н.Волошин

Институт физики высоких давлений РАН

142092, Троицк, Московская обл.

Поступила в редакцию 3 июля 1992 г.

Исследованы переходы металлических модификаций GeII и SiII в процессе снижения давления при низких температурах. Показано, что в зависимости от температуры наряду с известными метастабильными модификациями SiIII, GeIII, GeIV возможно образование аморфных тетраэдрических фаз в массивных образцах Ge и Si. При атмосферном давлении проведены калориметрические исследования кристаллических и аморфных фаз. Кристаллизация массивных образцов (характерный размер около 2мм) аморфных Ge и Si наблюдалась при температурах, близких к известным температурам кристаллизации аморфных пленок: 700–730 K и 940–980 K соответственно.

Аморфные Si и Ge до сих пор получались только в виде тонких пленок (толщиной около 1 мкм) методами облучения, напыления или осаждения^{1,2}. Интерес к таким объектам связан как с фундаментальными вопросами физики неупорядоченных сред, так и с перспективами их технического применения. В то же время неясно, какие из характеристик аморфных Si и Ge связаны с квазидвумерностью, а какие присущи собственно неупорядоченной тетраэдрической сетке атомов данных веществ. В связи с этим большой интерес представляет получение и исследование объемных образцов аморфных кремния и герmania.

В данной работе использован метод твердофазной аморфизации, основанный на поиске таких экспериментальных значений $P-T$ -параметров, при которых кристаллическая структура фазы высокого давления становится неустойчивой, а переход в стабильную модификацию затруднен по кинетическим причинам. В этом случае происходит разупорядочение вещества, причем аморфное состояние имеет структуру ближнего порядка, соответствующую более стабильной фазе³. Этот метод был ранее использован для получения объемных образцов аморфных Ga-Sb⁴, Cd-Sb⁵, Zn-Sb⁵, SiO₂³ и др. Целью настоящей статьи являлось выяснение возможности получения аморфных фаз Si и Ge в массивных образцах и изучение их термической устойчивости.

Для создания высокого давления в диапазоне 1–13 ГПа использовалась камера высокого давления типа "тороид", модифицированная вставками из твердого сплава ВК-6 и отградуированная по фазовым превращениям в Bi (2,55; 2,7; 7,7 ГПа), Sn (9,6 ГПа); Fe (11,7 ГПа) и Pb (13,2 ГПа)⁶. Цилиндрический образец монокристаллического Ge или Si диаметром 2 мм и высотой 1,5 мм помещался в пирофиллитовый контейнер. Нагрев осуществлялся пропусканием через образец переменного тока. Камера была помещена в емкость, заполненную жидким азотом. Температура в диапазоне 80–1500 K измерялась по показаниям хромель-алюмелевой термопары, расположенной вблизи образца. Сопротивление образца оценивалось по вольт-амперной характеристике пропускаемого через образец тока. Фазовый анализ полученного материала производился по данным рентгеновской дифракции в камере РКУ-114 λ CuK α и на дифрактометре ДРОН-3. Калориметрические исследования проводились

на Дериватографе-С (МОМ, Венгрия). Диапазон навесок 1–20 мг, скоростей нагрева–охлаждения – 0,05–20 К/мин. Калибровка дериватографа описана в ³.

Для получения фаз высокого давления GeII и SiII образцы, находящиеся при давлениях 11 и 13 ГПа, соответственно, выдерживались в течение 1 мин. при повышенной температуре 100–300⁰ С. После этого камера охлаждалась жидким азотом до температуры T_r и при этой температуре производился медленный сброс давления (около 1 ГПа/мин). Переход в полупроводниковую фазу регистрировался по электросопротивлению. В зависимости от температуры T_r менялись давления переходов в полупроводниковые фазы P_{tr} и полученная модификация материала. Так, металлическая фаза GeII при $T_r \sim 200 - 300$ К и $P_{tr} \sim 4,5 - 8,5$ ГПа переходит в известную модификацию GeIII с тетрагональной структурой ($a = 0,580$ нм, $c = 0,663$ нм). При $T_r \sim 170 - 200$ К после сброса давления образуется смесь фаз GeI'II и GeIV (фаза с ОЦК структурой, $a = 0,697$ нм). Ранее ⁷ сообщалось о получении GeIV при сбросе давления в сухом льду (при $T = 190$ К). При $T_r \sim 160 - 170$ К образовывалась практически чистая фаза GeIV ($P_{tr} \sim 3 - 4$ ГПа). При $T_r \sim 130 - 160$ К получалась смесь GeIV с аморфной фазой. При более низких температурах $T_r \sim 90 - 130$ К и давлении $P_{tr} \sim 1 - 2$ ГПа были получены образцы со значительным содержанием аморфной фазы (рис.1).

Металлическая фаза кремния SiII при $T_r \sim 120 - 300$ К переходит в известную модификацию SiIII с ОЦК структурой ($a = 0,664$ нм) при давлении $P_{tr} \sim 2 - 9$ ГПа. При более низких температурах происходит образование аморфной фазы. Максимальное содержание разупорядоченного кремния получено в образцах, охлажденных до $T_r \sim 90 - 110$ К.

В результате калориметрических исследований полученных фаз установлены температуры переходов T_c в более стабильную фазу, энергии активации ΔG и тепловыделения ΔH . Для аморфного германия при переходе в алмазоподобную модификацию GeI эти величины составляют $T_c \sim 700 - 730$ К, $\Delta G \sim 200$ кДж/моль, ΔH (для образцов с максимальным содержанием аморфной фазы) ~ 10 кДж/моль. Для Si, соответственно, $T_c \sim 940 - 980$ К, $\Delta G \sim 300$ кДж/моль, $\Delta H \sim 5$ кДж/моль (рис.2). Перед кристаллизацией наблюдаются характерные релаксационные предпки ². Используя известные литературные данные по теплотам кристаллизации аморфных пленок ², можно оценить содержание разупорядоченной фазы в образцах; оно оказалось до 80% для Ge и до 50% для Si.

Также проводились отжиги других полученных метастабильных фаз Ge и Si. Фаза SiIII переходит в SiIV с гексагональной структурой типа вюрцитита ($a = 0,380$ нм, $c = 0,628$ нм). При этом $T_c \sim 480 - 520$ К, $\Delta G \sim 150$ кДж/моль, $\Delta H \sim 6,5$ кДж/моль. Ранее о получении фазы SiIV при отжиге SiIII сообщалось в ⁸. Модификация GeIV при отжиге также переходит в гексагональную вюрцитоподобную фазу GeV ($a = 0,394$ нм, $c = 0,655$ нм) при $T_c \sim 320 - 350$ К, $\Delta G \sim 90$ кДж/моль, $\Delta H \sim 4,2$ кДж/моль. При комнатной температуре переход происходит примерно за сутки. До сих пор такая модификация Ge получалась только в виде тонких слоев ⁹. Фаза GeII при нагреве переходит в нормальную модификацию GeI. При этом $T_c \sim 520 - 560$ К, $\Delta G \sim 160$ кДж/моль, $\Delta H \sim 8,5$ кДж/моль.

В настоящей работе исследована термическая устойчивость гексагональных модификаций GeV и SiIV. Температуры перехода в модификации GeI и SiI соответственно 770-820 и 1000-1050 К, однако при этом наблюдаются

$a(k)$, отн. ед.

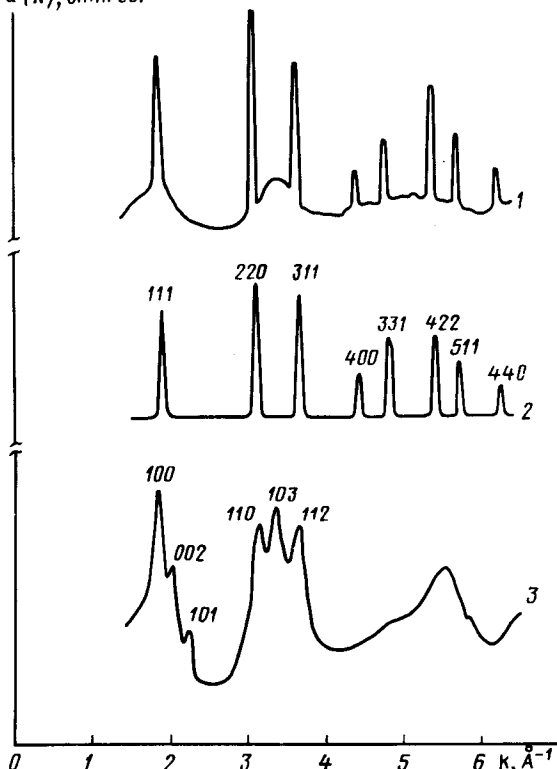


Рис.1

dH/dT , Дж/моль·К

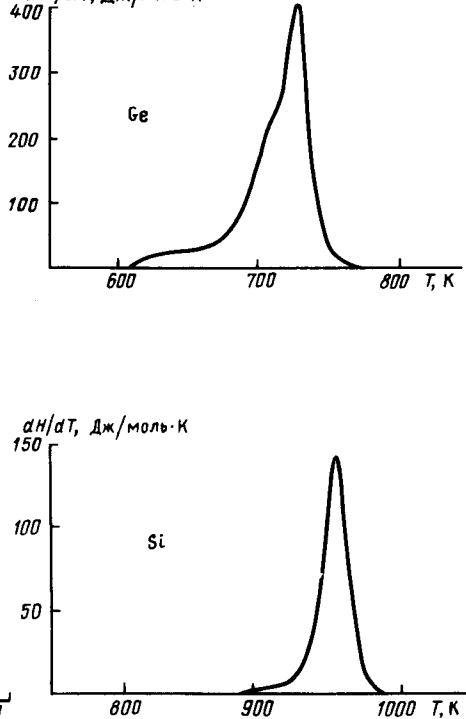


Рис.2

Рис.1. Структурные факторы образцов германия, полученные из данных рентгеновского рассеяния ($k = 4\pi \sin \theta / \lambda$, θ – угол рассеяния): 1 – смесь кристаллической фазы GeI и аморфной модификации; наличие фазы GeI обусловлено неполным переходом GeI–GeII под давлением. Содержание аморфной фазы по данным калориметрии ~ 40%; 2 – предыдущий образец после отжига при 900 К; 3 – смесь кристаллической фазы GeV и аморфной модификации (~ 50%)

Рис.2. Пики тепловыделения, связанные с кристаллизацией аморфных фаз Ge и Si, при изохронном отжиге со скоростью нагрева 20 К/мин

размытые пики теплопоглощения (0,2 кДж/моль). При этом в образцах Si, нагретых до температур 1050–1150 К с последующим медленным охлаждением ($T < 1$ К/мин) наблюдается частичный обратный переход SiIV–SiI. Эти неожиданные результаты можно объяснить тем, что переходы SiIV–SiI и GeV–GeI являются равновесными, и вюрцитоподобные фазы SiIV и GeV являются стабильными при низких температурах. Такая же ситуация обсуждалась для лонсдейлита и алмаза¹⁰, вюрцитной и сфалеритной фаз GaN¹¹. Для проверки предположения о том, что SiIV и GeV являются низкотемпературными стабильными фазами, были проведены изотермические и изохронные отжиги (скорость охлаждения 0,05–0,1 К/мин) поликристаллов SiI и GeI в диапазоне температур соответственно 800–1100 и 600–900 К. В некоторых образцах после отжига методом рентгеновской дифракции была обнаружена примесь гексагональных вюрцитоподобных фаз. После отжига поликристалла Si при 900–950 К в течение 25 ч на дебаеграммах наблюдались 2–3 слабых линии, совпадающие с линиями вюрцитоподобной модификации (отношение интенсивности $I(1,1,1)/I(0,0,2)$ SiIV равно 60). Содержание примесей в образцах,

определенное методом масс-спектрометрического анализа, не превышало 0,1%. Так как энергии этих модификаций очень близки и кинетика обратного перехода из высокотемпературной фазы чрезвычайно замедлена, то, вероятно, соотношение стабильностей этих фаз сильно зависит от наличия примесей и дефектов. Для выяснения относительной стабильности алмазоподобной и вюрцитоподобной модификаций соединений с тетраэдрическим типом связей требуются дополнительные исследования.

На основании данных, полученных в экспериментах, можно сделать вывод о том, что управляя кинетикой превращений металлических фаз Ge и Si в более стабильные состояния, можно подобрать $P - T$ -параметры, при которых переход происходит через промежуточную разупорядоченную фазу. Размер аморфного образца при этом ограничен лишь возможностями аппаратуры высокого давления.

В заключение авторы выражают благодарность Н.Е.Случанко за помощь при обработке рентгеновских данных

-
1. Аморфные полупроводники. М.: Мир, 1982. (Amorphous semiconductors, Ed. M.H.Brodsky, Berlin, Springer-Verlag, 1979).
 2. E.P.Donovan, F.S.Paepen, and D.Turnbull, J. Appl. Phys. **57**, 1795 (1985).
 3. V.V.Brazhkin, R.N.Voloshin, and S.U.Popova, J. Non-Cryst. Sol. **136**, 241 (1991).
 4. S.V.Demishev, Yu.V.Kosichkin, A.G.Lyapin et al., J.Non-Cryst. Sol. **97/98**, 1459 (1987).
 5. E.G.Ponyatovsky, I.T.Belash, and O.I.Barcalov, J.Non-Cryst. Sol **117/118**, 679 (1990).
 6. Le Neindre, K.Suito, and N.Kawai, High Temp.-High Pres. **8**, 1 (1976).
 7. C.H.Bates, F.Dachille, and R.Roy, Science **147**, 860 (1965).
 8. R.H.Wentorf, and J.S.Kasper, Science **139**, 338 (1963).
 9. В.Г.Еременко, ФТТ **17**, 2476 (1975).
 10. F.P.Bundy, and J.S.Kasper, J. Chem. Phys. **48**, 3437 (1969).
 11. P.E.van Camp, V.E.Van Dorenand, and J.T.Devreese, Sol. St. Commun. **81**, 23 (1992).